

· 综述 ·

脑海绵状血管畸形KLF2、KLF4信号通路的研究进展

张 峰 综述 刘 利 审校

【关键词】脑海绵状血管畸形；发病机制；KLF2信号通路；KLF4信号通路

【文章编号】1009-153X(2022)08-0698-03

【文献标志码】A

【中国图书资料分类号】R 739.41

脑海绵状血管畸形(cerebral cavernous malformations, CCM)是由桑椹样扩大的不规则血管形成的，缺乏平滑肌、弹性组织和完整的基底膜，因此血管壁薄，易渗漏^[1]。CCM的发病率约为0.5%，以中枢神经系统多见，导致头疼、中风、癫痫发作和局灶性神经功能缺失。CCM发病形式包括散发性CCM(sporadic CCM, SCCM)和家族性CCM(familial CCM, FCCM)，其中FCCM与染色体7q的CCM1(KRIT1)、染色体7p的CCM2(OSM)和染色体3q的CCM3(PDCD10)基因有关。研究发现，参与CCM损伤的信号通路有：MEKK3-Krüppel样因子(Krüppel-like factor, KLF)2/4、RhoA/ROCK、内皮-间充质转化(endothelial-to-mesenchymal transition, EndMT)、血小板反应蛋白1(thrombospondin 1, TSP1)丢失、促炎状态、氧化应激和自噬^[2,3]。本文主要介绍KLF2、KLF4在CCM信号通路中所起的作用。

1 KLF2、KLF4结构和功能

KLF家族是真核生物体内一类结构高度保守的转录因子，其C-末端有3个连续高度保守的C2H2锌指结构域，通过结合靶基因启动子GC富含序列，调控相应基因的表达；其N-末端属于转录调控结构域，高度变异，通过结合特异蛋白质，介导多种因子的转录。KLF4在人体内表达广泛，主要存在于细胞核内，其特征是：因作用靶基因的不同，具有转录活化或转录抑制的双重调节作用。KLF4通过对其下游靶基因的调控，参与细胞的增殖、分化、凋亡以及

血管生成和肿瘤的发生发展^[4]。KLF2可受血流切应力的诱导，调节内皮细胞多种功能基因的表达，参与调节炎症、凝血、血管舒缩和血管生成等多种过程^[5]。KLF2和KLF4之间有许多共同的靶点，但它们对共同调控的启动子在亲和力方面存在个体差异，因而表现出特异性。Zhou等^[6]发现，CCM小鼠模型的早期形成与KLF2、KLF4的过度表达和Rho/ROCK活性的增加有关。当CCM蛋白缺陷后，激活MEKK3-MEK5-ERK5-MEF2信号轴，使转录因子KLF2、KLF4表达增加^[7]，KLF2可进一步激活下游RhoA/ROCK信号通路，而KLF4则激活其下游的EndMT信号通路^[8]，KLF2与KLF4二者也可共同作用于TSP1，使其表达减少，从而促进CCM的发展及其出血性演变^[9]。目前认为，KLF2、KLF4是CCM早期发展和进展的关键，可以作为CCM发病机制的研究重点。

2 信号转导

2.1 KLF2/4与MEKK3-MEK5-ERK5-MEF2信号轴有丝分裂原活化蛋白激酶(mitogen-activated protein kinase, MAPK)信号通路表达于所有真核生物内，是将细胞上接收的刺激信号传递到相应蛋白所必需的信号通路。因此，MAPK通路在细胞的炎症反应、分化、生长和增殖等过程中起着非常重要的作用。MAPK激酶激酶3(MAPK kinase kinase 3, MEKK3)是MAPK信号通路中重要的节点，通过磷酸化激活细胞外信号调节激酶激酶5(Mitogen/extracellular signal-regulated kinase kinase 5, MEK5)，进一步激活细胞外信号调节蛋白激酶5(extracellular signal-regulated protein kinase 5, ERK5)从而发挥生物学效应。Maddaluno等^[7]发现，人体内三种CCM蛋白相互作用形成的蛋白质复合物(CCM signaling complex, CSC)是MEKK3级联反应的抑制因子。当CSC蛋白缺陷后，会激活MEKK3，激活MEKK3-MEK5-ERK5信号途径。磷酸化ERK5可以通过调节肌细胞增强

doi:10.13798/j.issn.1009-153X.2022.08.027

基金项目：哈尔滨医科大学研究生科研和实践创新项目(YJSSJCX2019-26HYD)；哈尔滨医科大学附属第一医院科研创新基金(2020M19)；黑龙江省教育厅项目(GA20C019)

作者单位：150001 哈尔滨，哈尔滨医科大学附属第一医院神经外科
(张 峰、刘 利)

通讯作者：刘 利，E-mail:h.e2000@hotmail.com

因子2A、2C的转录活性,进一步促进KLF2、KLF4的表达^[8,9]。Cuttano等^[10]发现,敲除KLF4基因表达可显著降低CCM1小鼠病死率,并适度改善血管病变。

2.2 TLR4、CDC42与MEKK3-KLF2/4 Toll样受体4(toll like receptors 4, TLR4)可识别病原微生物细胞壁上的保守成分脂多糖(lipopolysaccharide, LPS)。LPS作为I型急性期反应蛋白可诱导机体产生炎症免疫反应。TLR4也是一种保守的I型跨膜蛋白,可以将细胞外刺激传递到细胞内,进而通过信号转导参与多种疾病发生发展过程。Tang等^[11]在CCM1小鼠模型中发现,诱导革兰氏阴性细菌脓肿,会显著增加CCM病变更型的严重程度,提示TLR4可能是MEKK3的上游靶点。当革兰氏阴性细菌产生LPS后,可被TLR4蛋白识别,进一步通过TLR4-MEKK3-KLF2/4信号途径来加速CCM的形成。

细胞分裂周期蛋白42(cell division cycle 42, CDC42)是Ras超家族GTP酶中的核心成员,位于细胞质,包含191个氨基酸,主要参与调解细胞骨架中肌动蛋白重排与调控蛋白激酶,并通过在与GTP结合/活化状态和与GDP结合/失活状态之间循环切换,从而在复杂的细胞信号转导网络中起到开关作用。当CDC42功能丧失后,会损害脑内皮细胞的发芽、分支形态发生、轴向极性以及其在脑组织中的正常分布。Castro等^[12]发现,CDC42也参与CSC之间的相互作用并形成复合物,当脑内皮细胞CDC42缺失后,也通过激活MEKK3-MEK5-ERK5信号通路,进而导致KLF2、KLF4的过表达,诱导CCM的形成。

2.3 KLF2与RhoA/ROCK信号通路 RhoA是一种小的GTP结合蛋白,具有高度保守的GDP/GTP结合区、GTP酶活性区、靶区和膜定位结构。作为一种分子开关,RhoA的主要功能是调节细胞骨架重组、细胞生长和基因表达,在细胞信号转导通路中起着重要的作用。RhoA的功能主要是通过ROCK实现的,ROCK有ROCK1和ROCK2两种异构体,在激酶结构域的水平上有65%的总体同源性和92%的相似性。Richardson等^[13]发现,当体内出现任何一种CCM蛋白缺陷,都会激活MEKK3-KLF2-RhoA-ROCK1/2-pMLC信号通路,最终导致肌动蛋白应激纤维的增加、细胞黏附性的降低以及血管通透性增加;当抑制KLF2表达时,CCM1小鼠模型中病变更表现出99%的恢复,且组织学上只有少量的小静脉扩张。

2.4 KLF4与EndMT EndMT被认为是上皮间质转化(epithelial-to-mesenchymal transition, EMT)的一种亚型,是指内皮细胞失去其自身特性而获得间质

细胞和干细胞样特性的表型转变过程。EndMT的特点是细胞连接结构的改变、细胞极性丧失,细胞增殖或迁移增加,最终导致血管生成增加,并可在炎性微环境下形成桑椹状^[14]。在正常人体内,CSC可通过抑制小GTP酶RAS相关蛋白1的效应器来控制内皮细胞屏障功能。在CCM蛋白缺陷的情况下,脑内皮细胞间粘附连接减少,可诱发内皮细胞经历EndMT形成CCM。EndMT主要是由内源性骨形态发生蛋白(bone morphogenetic protein, BMP)6上调介导的,可激活EndMT发生有关的BMP和转化生长因子-β(transforming growth factor-β, TGF-β)信号通路^[7]。Zhang等^[15]发现,KLF4是CCM蛋白缺陷后产生EndMT的关键。BMP6作为KLF4的靶基因,KLF4可以通过诱导BMP6启动子的活性,从而诱发EndMT的形成。研究报道,KLF4除诱导BMP6外,还可以直接通过与某些EndMT标志物启动子的结合来诱导EndMT的产生,如干细胞抗原1(stem cell antigen 1, SCA1)和成纤维细胞特异性蛋白(fibroblast-specific protein 1, FSP1)。同时,在CCM1小鼠模型中,KLF4基因敲除既会显著降低EndMT典型标志物(DNA结合抑制因子1,FPS1,SCA1)中mRNA与蛋白水平,又会导致与EndMT发生有关的BMP6被强烈抑制。

2.5 KLF2/4与TSP1 TSP1是一种细胞基质糖蛋白,可通过调节细胞增殖、黏附和凋亡,来维持细胞平衡;同时,TSP1也是最有效和最具特征性的内源性血管生成抑制剂之一,在血管生成过程中表达上调,通过抑制体内基质金属蛋白酶的表达来抑制血管生成,从而限制血管密度。Lopez-Ramirez等^[8]发现,CCM蛋白缺失后会引起KLF2和KLF4的过表达,从而导致其下游TSP1的表达被抑制。TSP1可以促进血管内皮细胞生长因子受体2(vascular endothelial growth factor receptor 2, VEGFR2)降解,从而抑制VEGFR2信号通路。当TSP1表达减少时,会增强VEGFR2信号通路,从而导致CCM的发生。VEGFR2也与内皮细胞有丝分裂和血管生成密切相关。当VEGFR2活化后,可增加参与内皮细胞渗漏、应力纤维形成和血管生成密切相关的血管内皮钙粘蛋白和Beta连环蛋白磷酸化和迁移,从而诱发CCM病变更形成^[16]。Lopez-Ramirez等^[8]在用KLF2、KLF4来抑制TSP1表达的实验中发现,当诱导人内皮细胞异位表达KLF2和KLF4后,TSP1表达水平与CCM1沉默后的水平相似;并发现KLF2和KLF4的过表达也可以导致TSP1 mRNA表达水平下降。

综上所述,KLF2、KLF4被MEKK3-KLF2/4信号

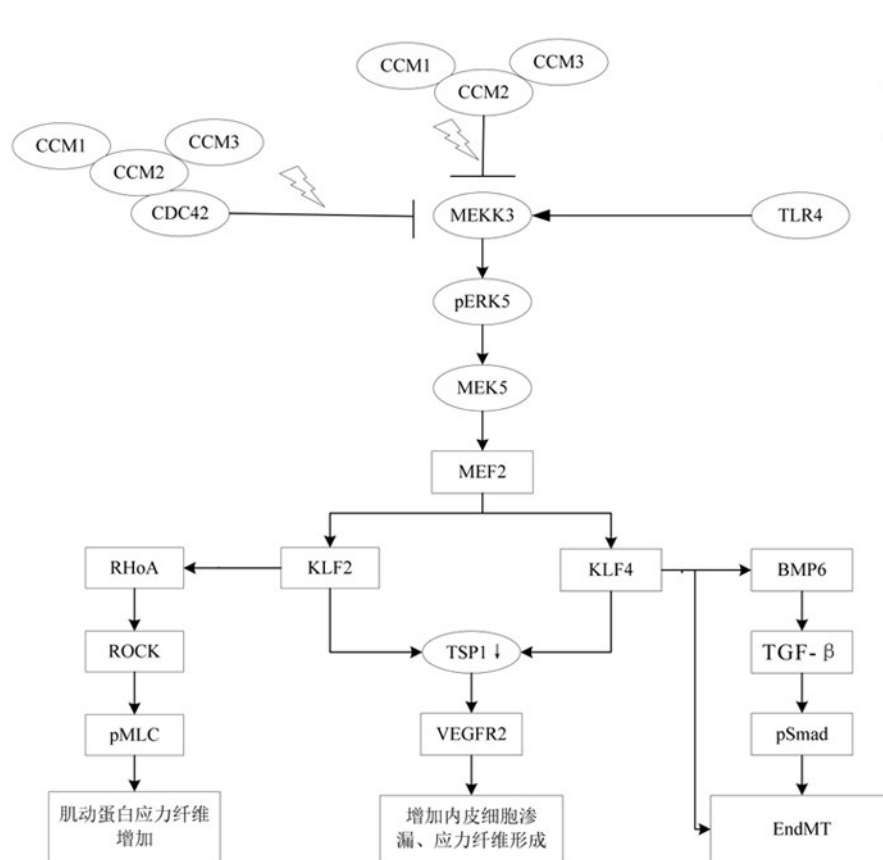


图 1 CCM 发生发展过程中与 KLF2/4 有关信号通路图
 : 失调
 → : 激活
 — : 抑制
 ↓ : 下降
 CDC42. 细胞分裂周期蛋白;
 Bmp6. 骨形态发生蛋白6;
 TGF- β . 转化生长因子- β ;
 EndMT. 内皮-间充质转化;
 RhoA. Ras 同源基因家族蛋白 A;
 ROCK. Rho 相关卷曲螺旋形成的蛋白激酶;
 pMLC. 磷酸化肌球蛋白轻链;
 pSmad. TGF- β 1 信号传导过程中最重要的胞内效应因子;
 TSP1. 血小板反应蛋白;
 VEGFR2. 血管内皮细胞生长因子受体2

通路激活后，在EndMT、RhoA/ROCK信号通路以及TSP1表达中起到重要的桥梁作用(图1)，是CCM发生发展的关键。在CCM小鼠模型中，KLF2、KLF4基因失活可大大减少CCM病变的形成，因此，KLF2、KLF4可作为未来CCM发病机制信号通路的研究重点。KLF2、KLF4作为新的药物治疗靶点，也可为不可触及的病变提供新的治疗方案，如脑干CCM、多发性CCM或位于功能区的病变。

【参考文献】

- [1] Polster SP, Cao Y, Carroll T, et al. Trial readiness in cavernous angiomas with symptomatic hemorrhage (CASH) [J]. Neurosurgery, 2019, 84(4): 954–964.
- [2] Dettner MR, Snellings DA, Marchuk DA. Cerebral cavernous malformations develop through clonal expansion of mutant endothelial cells [J]. Circ Res, 2018, 123(10): 1143–1151.
- [3] Padarti A, Zhang J. Recent advances in cerebral cavernous malformation research [J]. Vessel Plus, 2018, 2: 21.
- [4] Abdelilah-Seyfried S, Tournier-Lasserve E, Derry WB. Blocking signalopathic events to treat cerebral cavernous malformations [J]. Trends Mol Med, 2020, 26(9): 874–887.
- [5] Li J, Zhao Y, Coleman P, et al. Low fluid shear stress conditions contribute to activation of cerebral cavernous malformation signalling pathways [J]. Biochim Biophys Acta Mol Basis Dis, 2019, 1865(11): 165519.
- [6] Zhou Z, Tang AT, Wong WY, et al. Cerebral cavernous malformations arise from endothelial gain of MEKK3-KLF2/4 signalling [J]. Nature, 2016, 532(7597): 122–126.
- [7] Maddaluno L, Rudini N, Cuttano R, et al. EndMT contributes to the onset and progression of cerebral cavernous malformations [J]. Nature, 2013, 498(7455): 492–496.
- [8] Lopez-Ramirez MA, Fonseca G, Zeineddine HA, et al. Thrombospondin1 (TSP1) replacement prevents cerebral cavernous malformations [J]. J Exp Med, 2017, 214(11): 3331–3346.
- [9] Abdelilah-Seyfried S, Tournier-Lasserve E, Derry WB. Blocking signalopathic events to treat cerebral cavernous malformations [J]. Trends Mol Med, 2020, 26(9): 874–887.
- [10] Cuttano R, Rudini N, Bravi L, et al. KLF4 is a key determinant in the development and progression of cerebral cavernous malformations [J]. EMBO Mol Med, 2016, 8(1): 6–24.

(下转第 704 页)

- [14] Panditharatna E, Kilburn LB, Aboian MS, et al. Clinically relevant and minimally invasive tumor surveillance of pediatric diffuse midline gliomas using patient-derived liquid biopsy [J]. *Clin Cancer Res*, 2018, 24(23): 5850–5859.
- [15] Saratsis AM, Yadavilli S, Magge S, et al. Insights into pediatric diffuse intrinsic pontine glioma through proteomic analysis of cerebrospinal fluid [J]. *Neuro Oncol*, 2012, 14(5): 547–560.
- [16] Piccioni DE, Achrol AS, Kiedrowski LA, et al. Analysis of cell-free circulating tumor DNA in 419 patients with glioblastoma and other primary brain tumors [J]. *CNS Oncol*, 2019, 8(2): CNS34.
- [17] Stallard S, Savelleff MG, Wierzbicki K, et al. CSF H3F3A K27M circulating tumor DNA copy number quantifies tumor growth and in vitro treatment response [J]. *Acta Neuropathol Commun*, 2018, 6(1): 80.
- [18] Pan C, Diplas BH, Chen X, et al. Molecular profiling of tumors of the brainstem by sequencing of CSF-derived circulating tumor DNA [J]. *Acta Neuropathol*, 2019, 137(2): 297–306.
- [19] Duan H, Hu JL, Chen ZH, et al. Assessment of circulating tumor DNA in cerebrospinal fluid by whole exome sequencing to detect genomic alterations of glioblastoma [J]. *Chin Med J (Engl)*, 2020, 133(12): 1415–1421.
- [20] Kanamori M, Maekawa M, Shibahara I, et al. Rapid detection of mutation in isocitrate dehydrogenase 1 and 2 genes using mass spectrometry [J]. *Brain Tumor Pathol*, 2018, 35(2): 90–96.
- [21] Xu H, Xia YK, Li CJ, et al. Rapid diagnosis of IDH1-mutated gliomas by 2-HG detection with gas chromatography mass spectrometry [J]. *Lab Invest*, 2019, 99(4): 588–598.
- [22] Longuespee R, Wefers AK, De Vita E, et al. Rapid detection of 2-hydroxyglutarate in frozen sections of IDH mutant tumors by MALDI-TOF mass spectrometry [J]. *Acta Neuropathol Commun*, 2018, 6(1): 21.
- [23] Kalkanis SN, Kast RE, Rosenblum ML, et al. Raman spectroscopy to distinguish grey matter, necrosis, and glioblastoma multiforme in frozen tissue sections [J]. *J Neurooncol*, 2014, 116(3): 477–485.
- [24] Livermore LJ, Isabelle M, Bell IM, et al. Raman spectroscopy to differentiate between fresh tissue samples of glioma and normal brain: a comparison with 5-ALA-induced fluorescence-guided surgery [J]. *J Neurosurg*, 2020. doi: 10.3171/2020.5.JNS20376. Online ahead of print.
- [25] Uckermann O, Yao W, Juratli TA, et al. IDH1 mutation in human glioma induces chemical alterations that are amenable to optical Raman spectroscopy [J]. *J Neurooncol*, 2018, 139(2): 261–268.
- [26] Livermore LJ, Isabelle M, Bell IM, et al. Rapid intraoperative molecular genetic classification of gliomas using Raman spectroscopy [J]. *Neurooncol Adv*, 2019, 1(1): vdz008.
- [27] Daoust F, Nguyen T, Orsini P, et al. Handheld macroscopic Raman spectroscopy imaging instrument for machine-learning-based molecular tissue margins characterization [J]. *J Biomed Opt*, 2021, 26(2): 022911.

(2022-04-16 收稿, 2022-07-02 修回)

(上接第700页)

- [11] Tang AT, Choi JP, Kotzin JJ, et al. Endothelial TLR4 and the microbiome drive cerebral cavernous malformations [J]. *Nature*, 2017, 545(7654): 305–310.
- [12] Castro M, Lavina B, Ando K, et al. CDC42 deletion elicits cerebral vascular malformations via increased MEKK3-dependent KLF4 expression [J]. *Circ Res*, 2019, 124(8): 1240–1252.
- [13] Richardson BT, Dibble CF, Borikova AL, et al. Cerebral cavernous malformation is a vascular disease associated with activated RhoA signaling [J]. *Biol Chem*, 2013, 394(1): 35–42.

- [14] Ma J, Sanchez-Duffhues G, Goumans MJ, et al. TGF-beta-induced endothelial to mesenchymal transition in disease and tissue engineering [J]. *Front Cell Dev Biol*, 2020, 8: 260.
- [15] Zhang Y, Li C, Huang Y, et al. EOFAZ inhibits endothelial to mesenchymal transition through downregulation of KLF4 [J]. *Int J Mol Med*, 2020, 46(1): 300–310.
- [16] Distefano PV, Glading AJ. VEGF signalling enhances lesion burden in KRIT1 deficient mice [J]. *J Cell Mol Med*, 2020, 24(1): 632–639.

(2020-08-19 收稿, 2021-01-21 修回)